

ФЕДЕРАЛЬНОЕ ГОСУДАРСТВЕННОЕ АВТОНОМНОЕ ОБРАЗОВАТЕЛЬНОЕ
УЧРЕЖДЕНИЕ ВЫСШЕГО ОБРАЗОВАНИЯ
МОСКОВСКИЙ ФИЗИКО-ТЕХНИЧЕСКИЙ ИНСТИТУТ
(НАЦИОНАЛЬНЫЙ ИССЛЕДОВАТЕЛЬСКИЙ УНИВЕРСИТЕТ)
ФИЗТЕХ-ШКОЛА РАДИОТЕХНИКИ И КОМПЬЮТЕРНЫХ ТЕХНОЛОГИЙ

Лабораторная работа 3.6.1
Спектральный анализ электрических сигналов.

Устюжанина Мария
Группа Б01-107

Цель работы: Изучить спектральный состав периодических электрических сигналов.

В работе используются: Анализатор спектра, генератор прямоугольных импульсов и сигналов специальной формы, осциллограф.

1 Теоретическая часть:

Разложение сложных сигналов на периодические колебания

Метод для описания сигналов. Для него используется разложение в сумму синусов и косинусов с различными аргументами или, как чаще его называют, *разложение в ряд Фурье*.

Пусть задана функция $f(t)$, которая периодически повторяется с частотой $\Omega_1 = \frac{2\pi}{T}$, где T — период повторения импульсов. Её разложение в ряд Фурье имеет вид

$$f(t) = \frac{a_0}{2} + \sum_{n=1}^{\infty} [a_n \cos(n\Omega_1 t) + b_n \sin(n\Omega_1 t)] \quad (1)$$

или

$$f(t) = \frac{a_0}{2} + \sum_{n=1}^{\infty} A_n \cos(n\Omega_1 t - \psi_n) \quad (2)$$

Если сигнал четен относительно $t = 0$, так что $f(t) = f(-t)$ в тригонометрической записи остаются только косинусные члены. Для нечетной наоборот.

Коэффициенты определяются по формуле

$$a_n = \frac{2}{T} \int_{t_1}^{t_1+T} f(t) \cos(n\Omega_1 t) dt \quad (3)$$

$$b_n = \frac{2}{T} \int_{t_1}^{t_1+T} f(t) \sin(n\Omega_1 t) dt$$

Здесь t_1 — время, с которого мы начинаем отсчет.

Сравнив формулы (1) и (2) можно получить выражения для A_n и ψ_n :

$$A_n = \sqrt{a_n^2 + b_n^2}; \psi_n = \arctan \frac{b_n}{a_n} \quad (4)$$

Периодическая последовательность прямоугольных импульсов

Введем некоторые величины:

$$\Omega_1 = \frac{2\pi}{T},$$

где T — период повторения импульсов.

Коэффициенты при косинусных составляющих будут равны

$$a_n = \frac{2}{T} \int_{-\tau/2}^{\tau/2} V_0 \cos(n\Omega_1 t) dt = 2V_0 \frac{\tau}{T} \frac{\sin(n\Omega_1 \tau/2)}{n\Omega_1 \tau/2} \sim \frac{\sin x}{x} \quad (5)$$

Здесь V_0 — амплитуда сигнала.

Поскольку наша функция четная, то $b_n = 0$.

Пусть у нас τ кратно T . Тогда введем ширину спектра, равную $\Delta\omega$ — расстояние от главного максимума до первого нуля огибающей, возникающего, как нетрудно убедиться при $n = \frac{2\pi}{\tau\Omega_1}$. При этом

$$\Delta\omega\tau \simeq 2\pi \Rightarrow \Delta\nu\Delta t \simeq 1 \quad (6)$$

Периодическая последовательность цугов

Функция $f(t)$ снова является четной относительно $t = 0$. Коэффициент при n -ой гармонике согласно формуле (3) равен

$$a_n = \frac{2}{T} \int_{-\tau/2}^{\tau/2} V_0 \cos(\omega_0 t) \cdot \cos(n\Omega_1 t) dt = V_0 \frac{\tau}{T} \left(\frac{\sin\left[(\omega_0 - n\Omega_1) \frac{\tau}{2}\right]}{(\omega_0 - n\Omega_1) \frac{\tau}{2}} + \frac{\sin\left[(\omega_0 + n\Omega_1) \frac{\tau}{2}\right]}{(\omega_0 + n\Omega_1) \frac{\tau}{2}} \right) \quad (7)$$

Амплитудно-модулированные колебания

Рассмотрим гармонические колебания высокой частоты ω_0 , амплитуда которых медленно меняется по гармоническому закону с частотой $\Omega \ll \omega_0$.

$$f(t) = A_0 [1 + m \cos \Omega t] \cos \omega_0 t \quad (8)$$

Коэффициентом m называется *глубина модуляции*. При $m < 1$ амплитуда меняется от минимальной $A_{min} = A_0(1 - m)$ до максимальной $A_{max} = A_0(1 + m)$. Глубина модуляции может быть представлена в виде

$$m = \frac{A_{max} - A_{min}}{A_{max} + A_{min}} \quad (9)$$

Простым тригонометрическим преобразованием уравнения (9) можно найти спектр колебаний

$$f(t) = A_0 \cos \omega_0 t + \frac{A_0 m}{2} \cos(\omega_0 + \Omega) t + \frac{A_0 m}{2} \cos(\omega_0 - \Omega) t \quad (10)$$

2 *Ход работы:*

2.1 А. Исследование спектра периодической последовательности прямоугольных импульсов

Исследуем прямоугольные импульсы с $\nu_{rep} = 1 \text{ кГц}$ и длительностью импульса $\tau = 100 \text{ мкс}$. Получим на экране спектр сигнала и будем изменять τ и ν_{rep} , наблюдая как изменяется спектр.

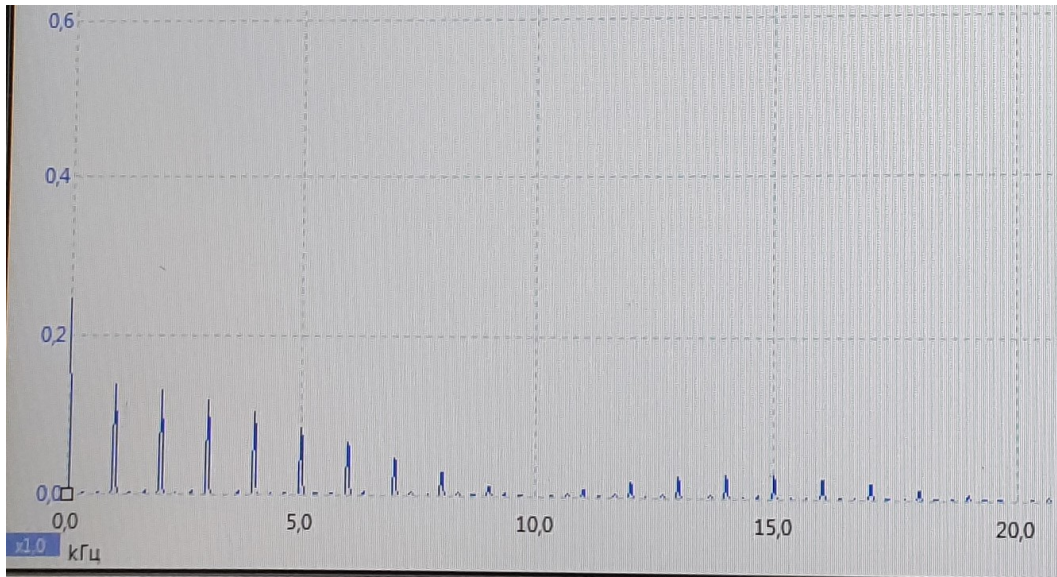
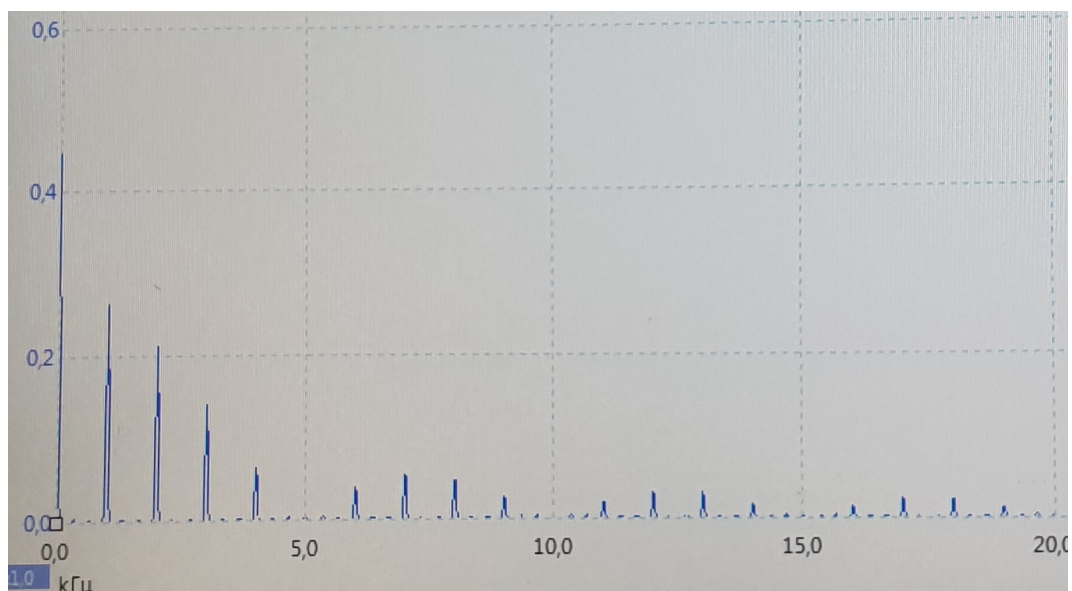
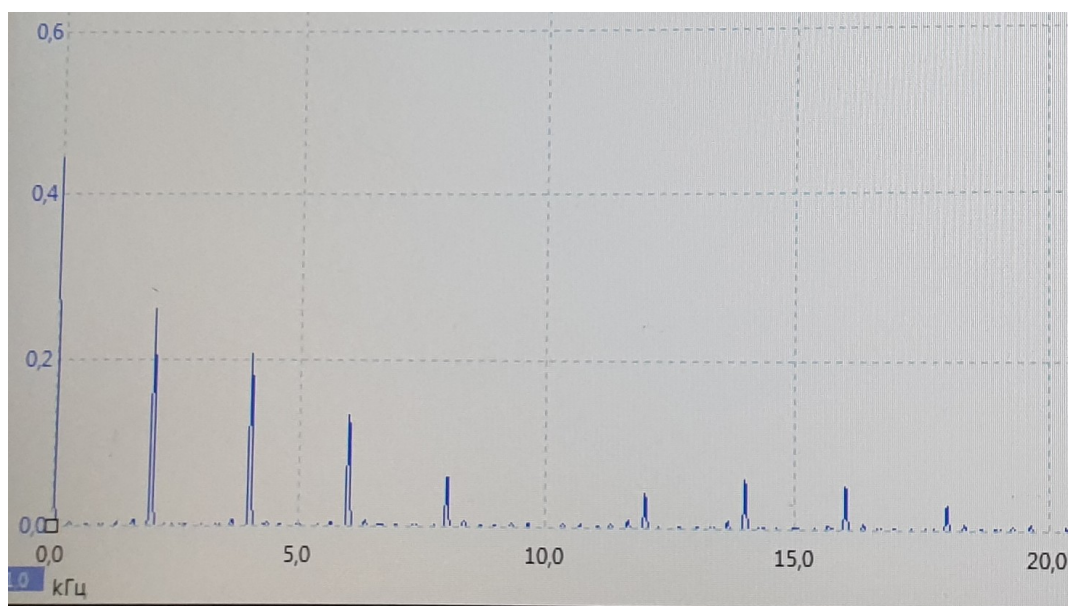


Рис. 1: Спектр при $\nu_{rep} = 1 \text{ кГц}$, $\tau = 100 \text{ мкс}$

Рис. 2: Спектр при $\nu_{rep} = 1\text{кГц}$, $\tau = 200\text{мкс}$ Рис. 3: Спектр при $\nu_{rep} = 2\text{кГц}$, $\tau = 100\text{мкс}$

Исследуем зависимость ширины спектра от длительности импульса при частоте повторения $\nu_{rep} = 1\text{кГц}$

τ , мкс	$\Delta\nu$, кГц
40	25
60	16
80	13
100	10
120	8
140	7
160	6
180	5.5
200	5

Запишем результаты в таблицу $\Delta\nu(1/\tau)$:

$1/\tau$, кГц	$\Delta\nu$, кГц
25	25
16.67	16
12.5	13
10	10
8.33	8
7.14	7
6.25	6
5.56	5.50
5	5

Получим график:

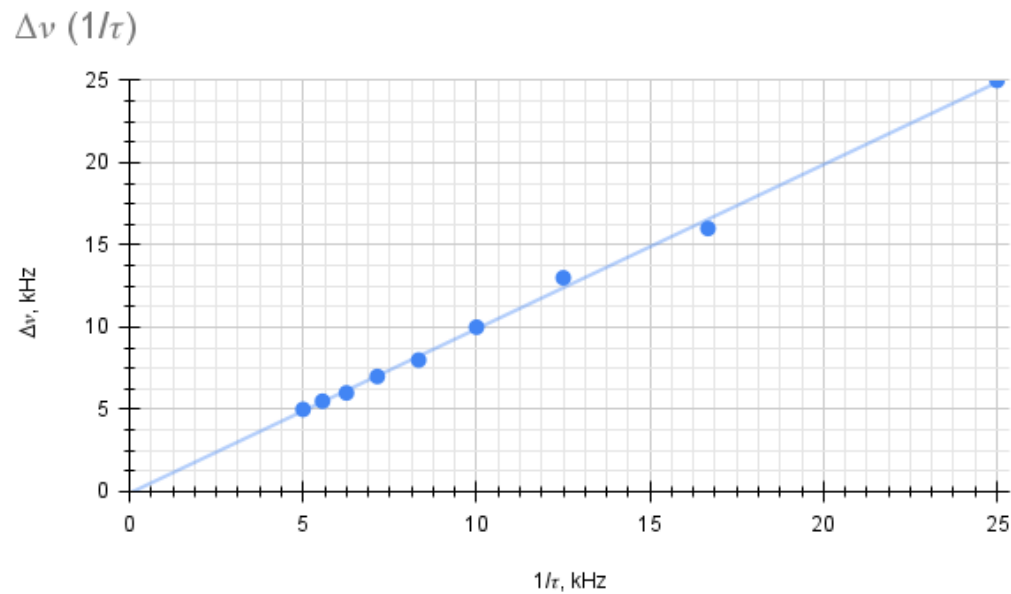


Рис. 4: График $\Delta\nu(1/\tau)$ для прямоугольных импульсов с $\nu_{rep} = 1\text{кГц}$

Тогда зависимость:

$$\Delta\nu = (0.998 \pm 0.016) \cdot \frac{1}{\tau} + (0.094 \pm 0.098)\text{кГц}$$

Выполняется соотношение определённости:

$$\Delta\nu \cdot \tau \simeq 1$$

2.2 В. Исследование спектра периодической последовательности цугов гармонических колебаний

Исследуем последовательность цугов, для этого установим частоту несущей $\nu_0 = 25\text{кГц}$ и получим на экране осциллографа устойчивую картину.

Пронаблюдаем изменение спектра:

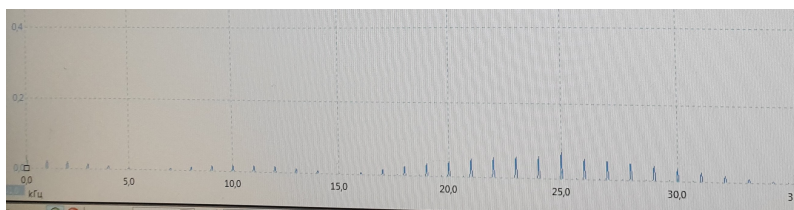


Рис. 5: Спектр при $\nu_{rep} = 1\text{кГц}$, $\nu_0 = 25\text{кГц}$, $\tau = 100\text{мкс}$

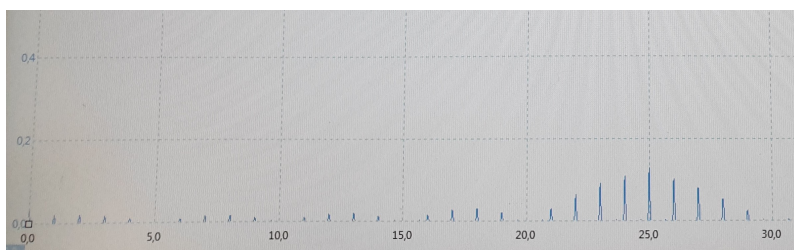


Рис. 6: Спектр при $\nu_{rep} = 1\text{кГц}$, $\nu_0 = 25\text{кГц}$, $\tau = 200\text{мкс}$

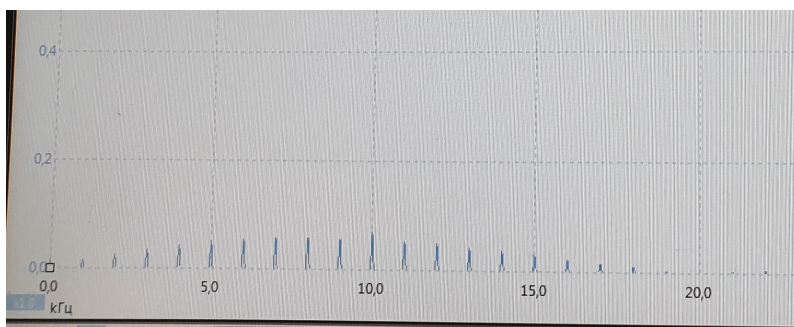
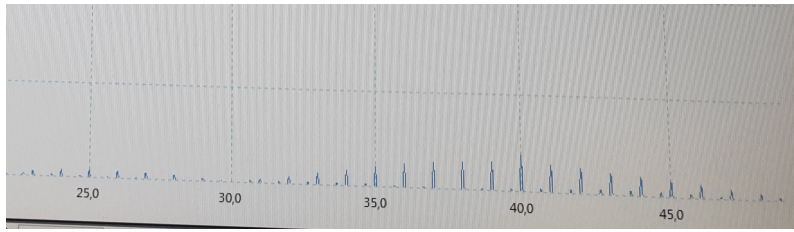
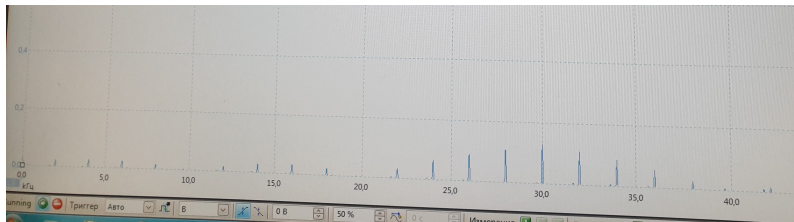
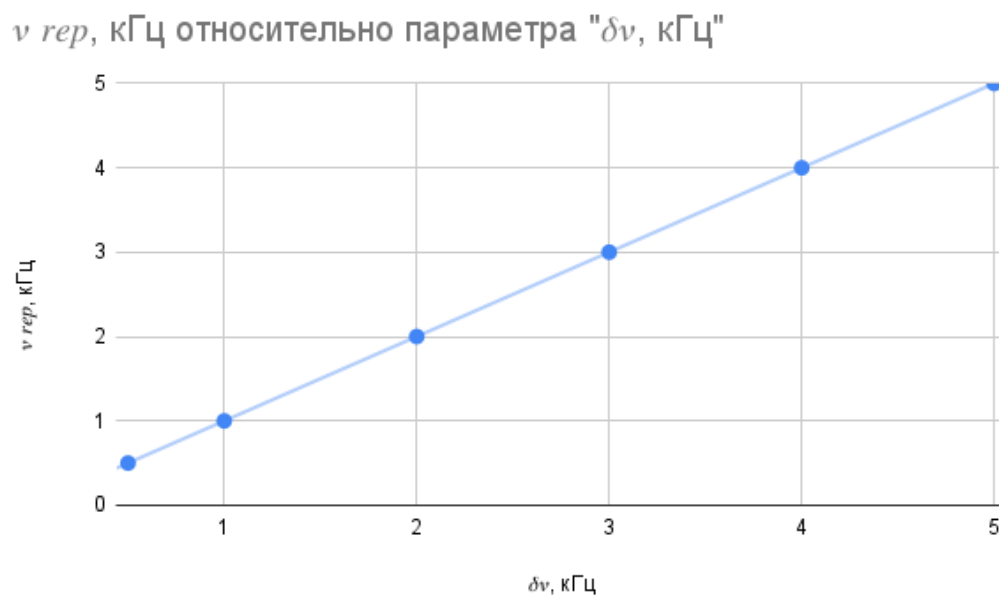


Рис. 7: Спектр при $\nu_{rep} = 1\text{кГц}$, $\nu_0 = 10\text{кГц}$, $\tau = 100\text{мкс}$

Рис. 8: Спектр при $\nu_{rep} = 1\text{кГц}$, $\nu_0 = 40\text{кГц}$, $\tau = 100\text{мкс}$ Рис. 9: Спектр при $\nu_{rep} = 2\text{кГц}$, $\nu_0 = 30\text{кГц}$, $\tau = 100\text{мкс}$

Получим зависимость $\delta\nu(\nu_{rep})$ при $\tau = 100\text{ мкс}$ и $\nu_0 = 25\text{ кГц}$:

$\delta\nu, \text{кГц}$	$\nu_{rep}, \text{кГц}$
0.5	0.5
1	1
2	2
4	4
5	5

Рис. 10: График $\delta\nu(\nu_{rep})$ для прямоугольных импульсов с $\nu_0 = 25\text{ кГц}$ и $\tau = 100\text{ мкс}$

Получим зависимость:

$$\delta\nu = (1.0 \pm 0.1) \cdot \nu_{rep} + (0.0 \pm 0.1) \text{кГц}$$

Тоже выполняется соотношение неопределённости:

$$\delta\nu \cdot T \simeq 1$$

2.3 С. Исследование спектра гармонических сигналов, модулированных по амплитуде

Получим спектр исследуемого сигнала. Для этого установим частоту несущей $\nu_0 = 25$ кГц и частоту модуляции $\nu_{mod} = 1$ кГц.

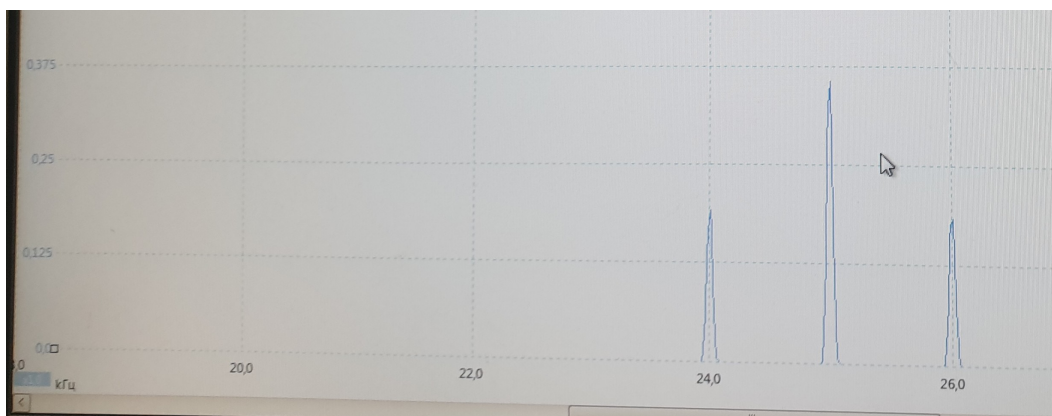


Рис. 11: Спектр модулированного сигнала при $m = 1$.

Изучим зависимость отношения амплитуд $k = A_s/A_m$ боковой и основной частоты от параметра $m = (A_{max} - A_{min}) / (A_{max} + A_{min})$.

A_m , mV	A_s , mV	m	k
322	16	0.1	0.050
322	47	0.3	0.146
322	75	0.5	0.233
322	107	0.7	0.332
322	139	0.9	0.431
322	153	1.0	0.475

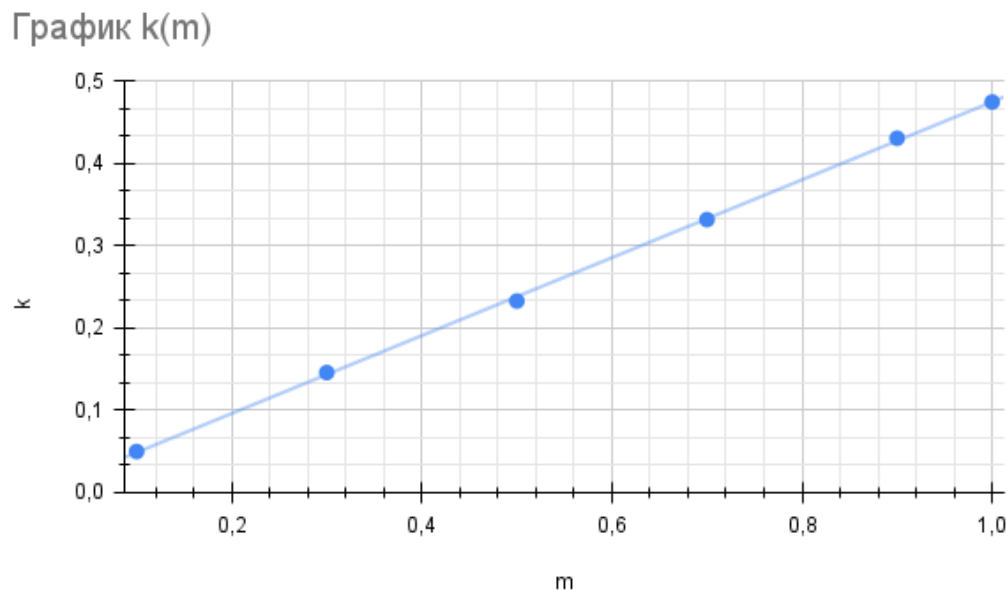


Рис. 12: График $k(m)$ для модулированного сигнала с $\nu_0 = 25$ кГц, $\nu_{mod} = 1$ кГц

Получим зависимость:

$$k = (0.474 \pm 0.004) \cdot m + (0.001 \pm 0.001)$$

Установим, что

$$\frac{k}{m} = 0.474 \pm 0.04$$

Это почти сходится с теорией (0,5).

3 Выводы

В лабараторной работе был изучена зависимость спектра прямоугольных сигналов, гармонических цугов и амплитудно модулированного гармонического сигнала. Также были прверены соотношения неорпеделенности, проверены справедливость разложения сигналов в ряд Фурье. Все сошлось с теорией.